

# Belle和Belle II上 $\Lambda_c^+ \rightarrow \Xi^0 K^+$ 的 不对称参数的测量

罗麟<sup>1</sup>, 单葳<sup>1</sup>, 李郁博<sup>2</sup>, 李龙科<sup>3</sup>

湖南师范大学<sup>1</sup>

西安交通大学<sup>2</sup>

辛辛那提大学<sup>3</sup>

第五届粒子物理天问论坛  
2023/11/12

# 目录

- 研究目的
- 主要内容
- 分析样本
- 事例筛选条件
- 对衰变不对称参数 $\alpha_{\Lambda_c^+}$ 的研究
- 总结

# 一. 研究目的

- $\Lambda_c^+ \rightarrow \Xi^0 K^+ \rightarrow (\Lambda^0 \pi^0) K^+ \rightarrow (p \pi^-) \pi^0 K^+$

- $\frac{1}{2}^+ \rightarrow \frac{1}{2}^+ + 0^- \quad \alpha = \frac{2\text{Re}(s*p)}{|s|^2 + |p|^2}$

- 理论现状

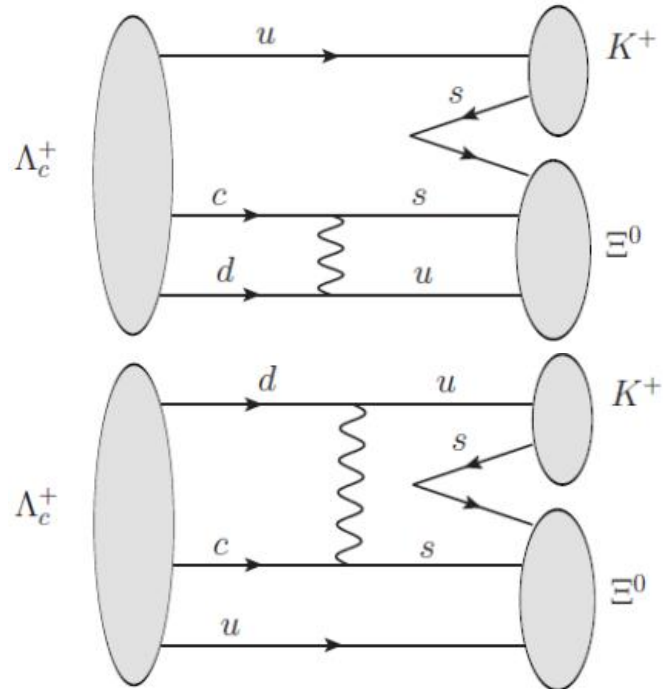
理论计算	$\alpha_{\Lambda_c^+}$	参考文献
Körner(1992), CCQM	0	Phys. C55, 659 (1992)
Xu(1992), Pole	0	Phys. Rev. D 46, 270 (1992)
Zencaykowski(1994), Pole	0	Phys. Rev. D 50, 5787 (1994)
Ivanov(1998), CCQM	0	Phys. Rev. D 57, 5632 (1998)
Sharma(1999), CA	0	Eur. Phys. J. C 7, 217-224 (1999)
Geng(2019), SU(3)	$0.94^{+0.06}_{-0.11}$	Phys. Lett. B 794, 19-28 (2019)
Zou(2020), CA	0.90	Phys. Rev. D 101, no.1, 014011 (2020)
Zhong (2023), SU(3)	$0.99 \pm 0.01$	J. High Energ. Phys. 2023, 235 (2023)

- 实验现状

目前 BESIII 实验组基于  $4.4 / \text{fb}$  在对  $\Lambda_c^+ \rightarrow \Xi^0 K^+$  过程的衰变不对称参数进行测量

arXiv:2309.02774 [hep-ex]

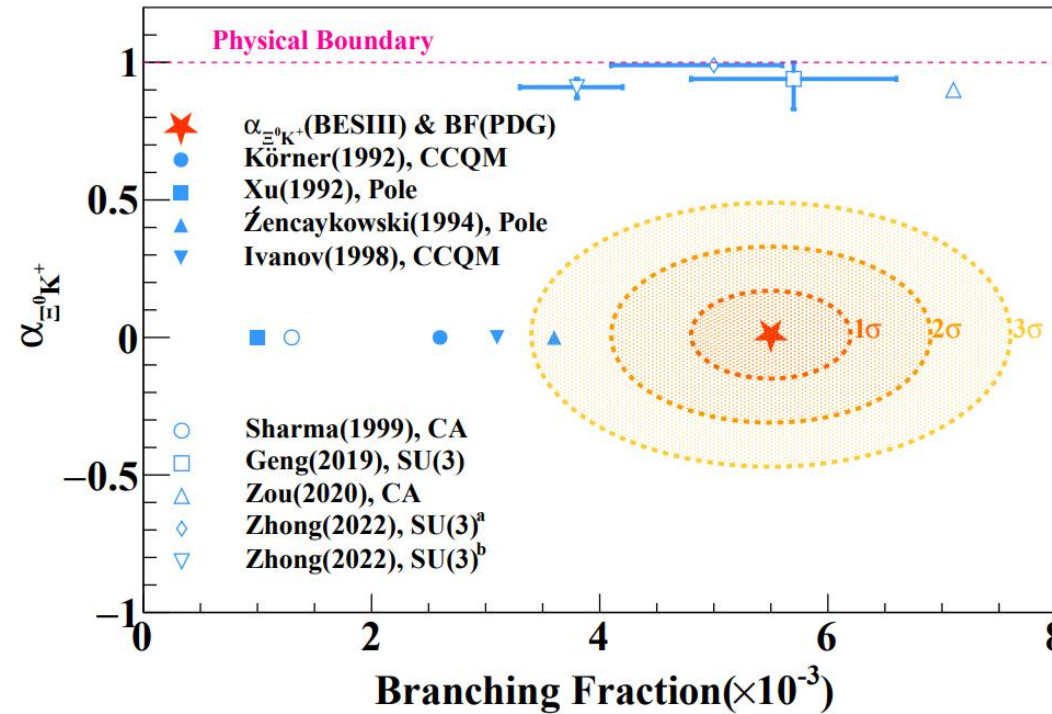
$0.01 \pm 0.16(\text{stat.}) \pm 0.03(\text{syst.})$



Belle+Belle II 上, 基于 $980+424 \text{ fb}$

预计统计量比BESIII实验测量结果提高一个量级

预计统计误差小一个量级



arXiv:2309.02774 [hep-ex]

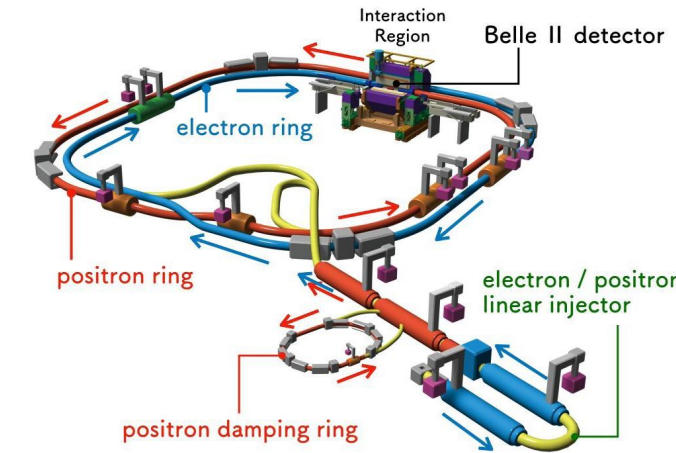
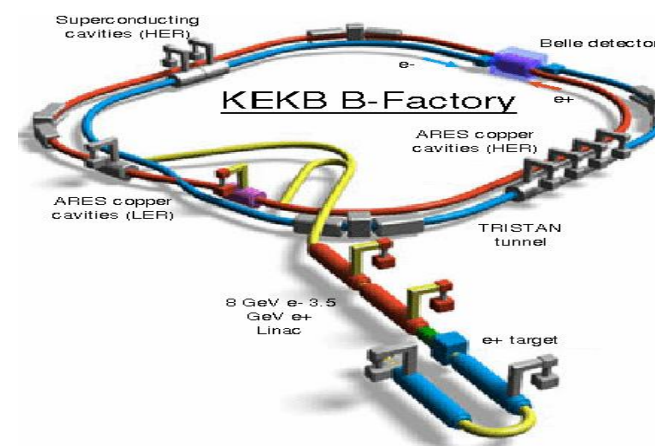
## 二. 主要内容—实验装置

- 基于KEKB上的 Belle 探测器和Super KEKB上的 Belle II 探测器采集到的980 /fb、424 /fb数据样本研究  
 $e^+e^- \rightarrow c\bar{c} \rightarrow \Lambda_c^+ X + c.c.$        $\Lambda_c^+ \rightarrow \Xi^0 K^+ \rightarrow (\Lambda^0 \pi^0) K^+ \rightarrow (p\pi^-) (\gamma\gamma) K^+$

### • 实验装置

KEKB: 第一代B介子工厂

- 周长3公里，地下11米
- 能量不对称的正负电子对撞机
- 产生10.58 GeV质心系能量 ( $B\bar{B}$ 阈值上)

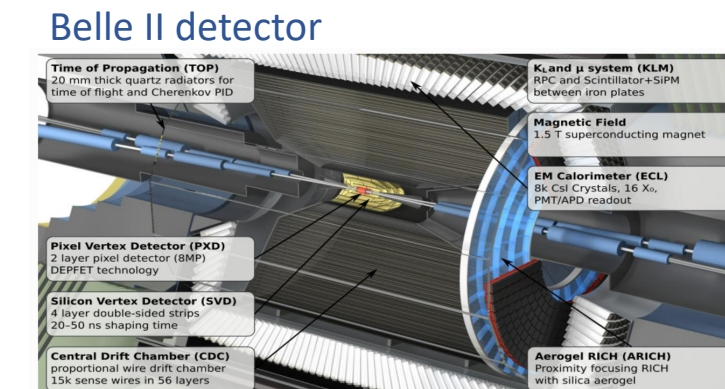
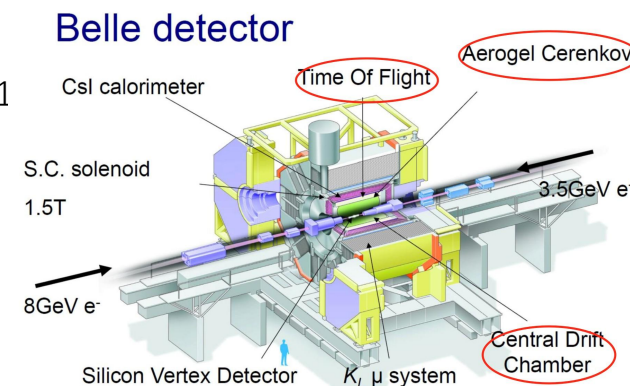


运行时间：1999年-2010年，累计采集~1 ab<sup>-1</sup>

Belle 探测器：位于束流管的对撞区域

KEKB → SuperKEKB

Belle → Belle II



## 二. 主要内容—研究方法

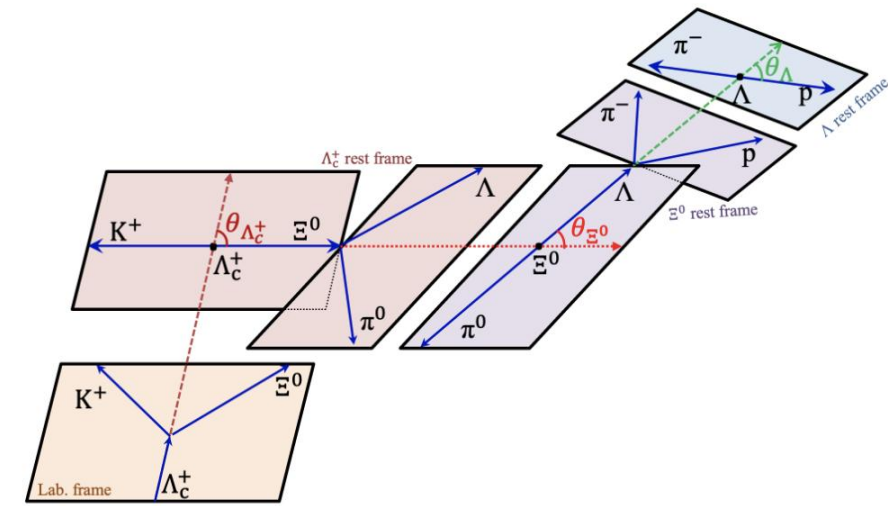
- 进行候选事例的选择
- 拟合微分衰变率公式得到  $\alpha_{\Lambda_c^+}$

$$\frac{dN}{dcos \theta_{\Xi^0} dcos \theta_A} \propto 1 + \alpha_{\Lambda_c^+} \alpha_{\Xi^0} \cos \theta_{\Xi^0} + \alpha_A \alpha_{\Xi^0} \cos \theta_A + \alpha_A \alpha_{\Lambda_c^+} \cos \theta_{\Xi^0} \cos \theta_A$$

$$\alpha_{\Xi^0} = -0.375 \pm 0.0034 \pm 0.0016 \quad [\text{arXiv:2305.09218}]$$

$$\alpha_A = 0.7519 \pm 0.0036 \pm 0.0019 \quad [\text{PRL 129 13, 131801(2022)}]$$

- 将  $[\cos \theta_{\Xi^0}, \cos \theta_A]$  分成  $5 \times 5$  个 bins，分别拟合  $M(\Xi^0 K^+)$
- 进行效率修正



### 三. 分析样本

**Signal MC 样本：** Signal MC 样本由EvtGen产生。 $e^+e^- \rightarrow c\bar{c}$ 使用PYCONT模型模拟， $\Lambda_c^+ \rightarrow \Xi^0 K^+$ ,  $\Xi^0 \rightarrow \Lambda^0 \pi^0$ ,  $\Lambda^0 \rightarrow p \pi^-$ ,  $\pi^0 \rightarrow \gamma\gamma$ 衰变由PHSP产生，产生100万样本。

目的：计算探测器的探测效率 $\varepsilon_{\Xi^0 K^+}$

### Generic MC 样本：

Belle:  $\Upsilon(4S) \rightarrow B^+B^-/B^0\bar{B}^0$ 、 $e^+e^- \rightarrow q\bar{q}$ ( $q = u, d, s, c$ ) ( $\sqrt{S} = 10.52, 10.58, 10.867$  GeV)

Belle II: MC15\_rd generic MC

目的：分析真实 data 样本中的本底成分

**Data 样本：** Belle data( $980\text{ fb}^{-1}$ ) + Belle II data( $424\text{ fb}^{-1}$ )

# 四.事例筛选条件

$K^+$ :  $R(K|p) > 0.6$   $R(K|\pi) > 0.6$

Belle

$\Lambda^0$ (mdst):  $|dM_{\Lambda^0}| < 3.5 \text{ MeV}/c^2$ ,  $\cos(\alpha_{xyz}^{\Lambda^0}) > 0$ ,  
 $dr > 0.35 \text{ cm}$ , KFit,  $R(p|\pi) > 0.2$ ,  $R(p|K) > 0.2$

$\pi^0$ (mdst):  $E_\gamma > 50 \text{ MeV(Endcaps)}$ ,  $E_\gamma > 30 \text{ MeV(Barrel)}$ ,  
 $|dM_{\pi^0}| < 17.4 \text{ MeV}/c^2$ ,  $p > 0.15 \text{ GeV}/c$

$\Xi^0$ using goodXi0(loose):  $1.290 \text{ GeV}/c^2 < M_{\Xi^0} < 1.339 \text{ GeV}/c^2$ ,  $\cos(\alpha_{xyz}^{\Xi^0}) > 0$   $\cos(\alpha_{xy}^{\Lambda^0}) < \cos(\alpha_{xy}^{\Xi^0})$ ,  $\sqrt{dr^2 + dz^2} > 0.5 \text{ cm}$ ,  
 $\sqrt{dx_{\Xi^0}^2 + dy_{\Xi^0}^2 + dz_{\Xi^0}^2} > 0$ ,  $\sqrt{dx_{\Xi^0}^2 + dy_{\Xi^0}^2 + dz_{\Xi^0}^2} < \sqrt{dx_{\Lambda^0}^2 + dy_{\Lambda^0}^2 + dz_{\Lambda^0}^2}$

$\Lambda_c^+$ :  $2.2 \text{ GeV}/c^2 < M_{\Lambda_c^+} < 2.38 \text{ GeV}/c^2$ ,  
 $x_p > 0.5$ (optimized), treeFit

$K^+$ :  $R(K|p) > 0.6$   $R(K|\pi) > 0.6$

Belle II

$\Lambda^0$ (mdst):  $|dM_{\Lambda^0}| < 3.5 \text{ MeV}/c^2$ ,  $\cos(\alpha_{xyz}^{\Lambda^0}) > 0$ ,  
 $dr > 0.35 \text{ cm}$ , protonID > 0.01

stdPhotons(loose):  $E_\gamma > 50 \text{ MeV(Endcaps)}$ ,  $E_\gamma > 30 \text{ MeV(Barrel)}$

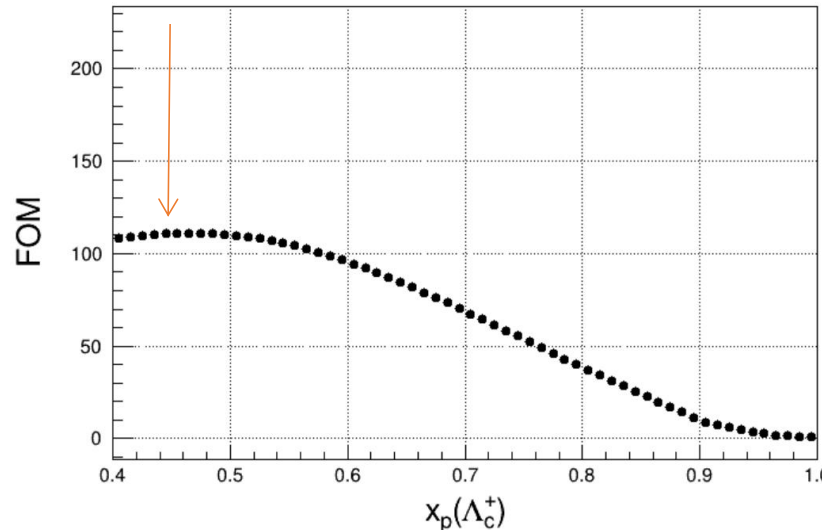
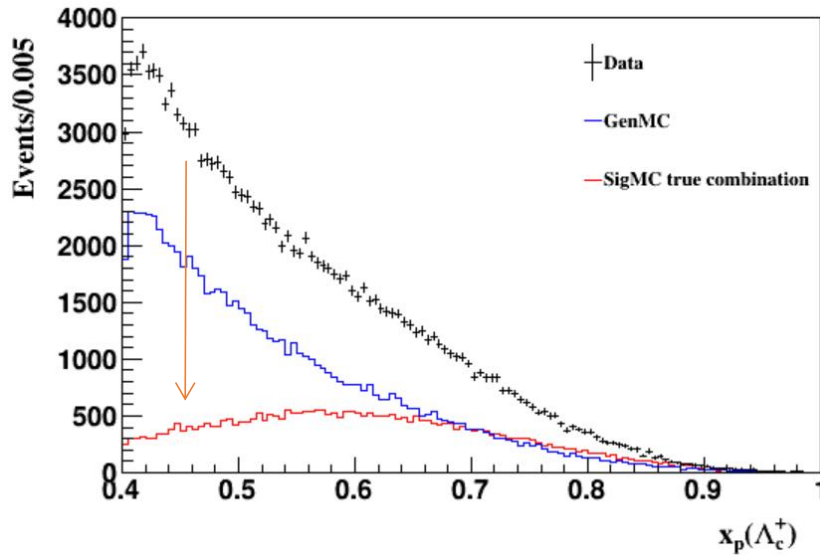
$\pi^0$ :  $|dM_{\pi^0}| < 17.4 \text{ MeV}/c^2$ ,  $p > 0.15 \text{ GeV}/c$

$\Xi^0$ using goodXi0(loose):  $1.290 \text{ GeV}/c^2 < M_{\Xi^0} < 1.339 \text{ GeV}/c^2$ ,  $\cos(\alpha_{xyz}^{\Xi^0}) > 0$ ,  $\cos(\alpha_{xy}^{\Lambda^0}) < \cos(\alpha_{xy}^{\Xi^0})$ ,  $\sqrt{dr^2 + dz^2} > 0.5 \text{ cm}$ ,  
 $\sqrt{dx_{\Xi^0}^2 + dy_{\Xi^0}^2 + dz_{\Xi^0}^2} > 0$ ,  $\sqrt{dx_{\Xi^0}^2 + dy_{\Xi^0}^2 + dz_{\Xi^0}^2} < \sqrt{dx_{\Lambda^0}^2 + dy_{\Lambda^0}^2 + dz_{\Lambda^0}^2}$

$\Lambda_c^+$ :  $2.2 \text{ GeV}/c^2 < M_{\Lambda_c^+} < 2.38 \text{ GeV}/c^2$ ,  
 $x_p > 0.5$ (optimized), treeFit

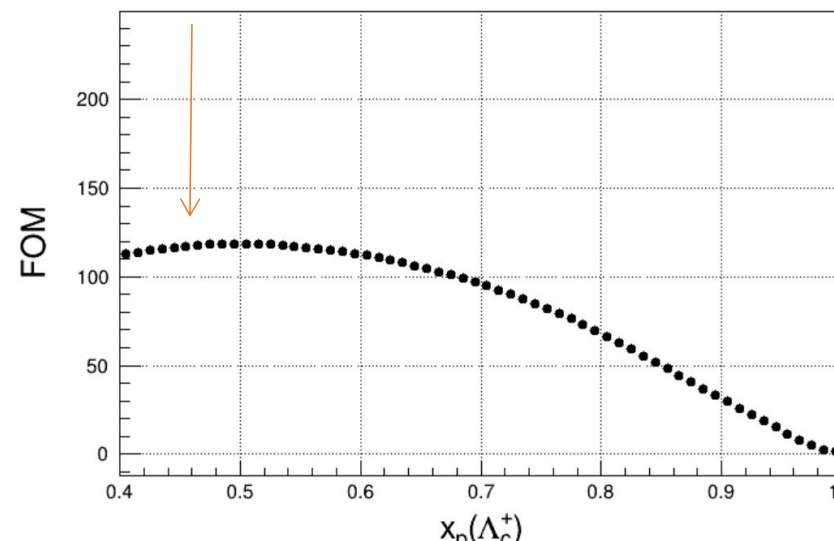
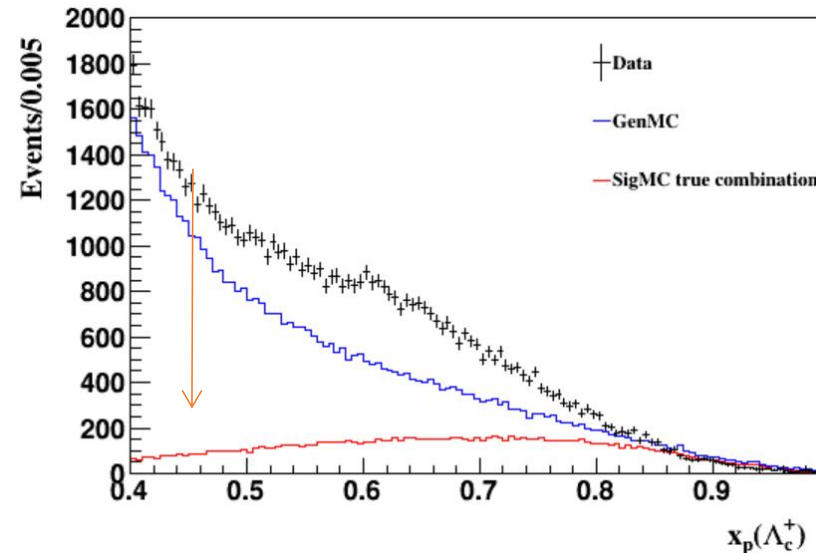
# 归一化的动量 $x_p$ 分布及优化

Belle



$$x_p = p^*/\sqrt{E_{beam}^2 - M^2}$$

Belle II

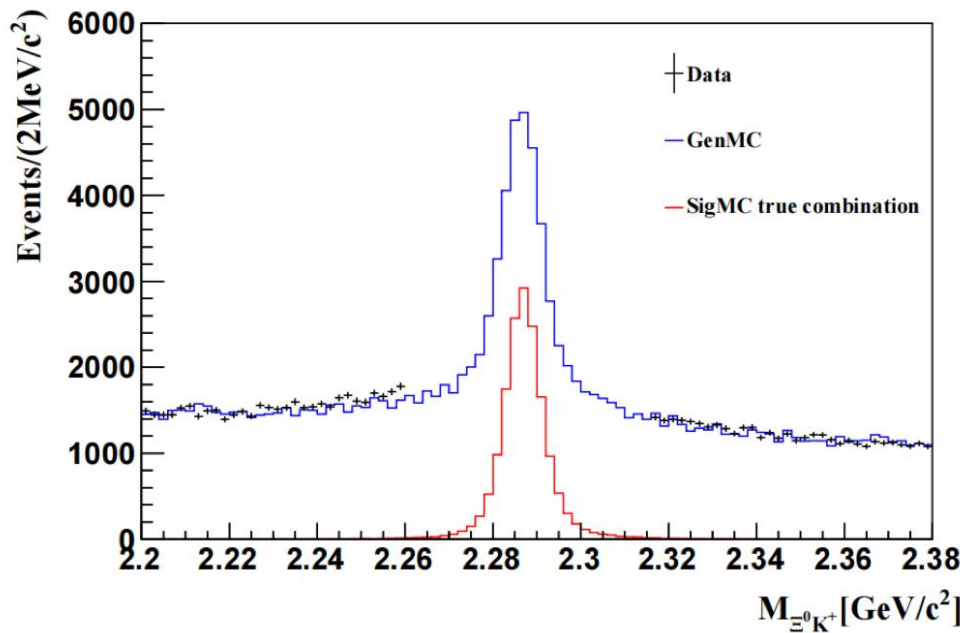


$$FOM = \frac{S}{\sqrt{S + B}}$$

S: 预估的信号MC的产额  
B: Generic MC中的本底数

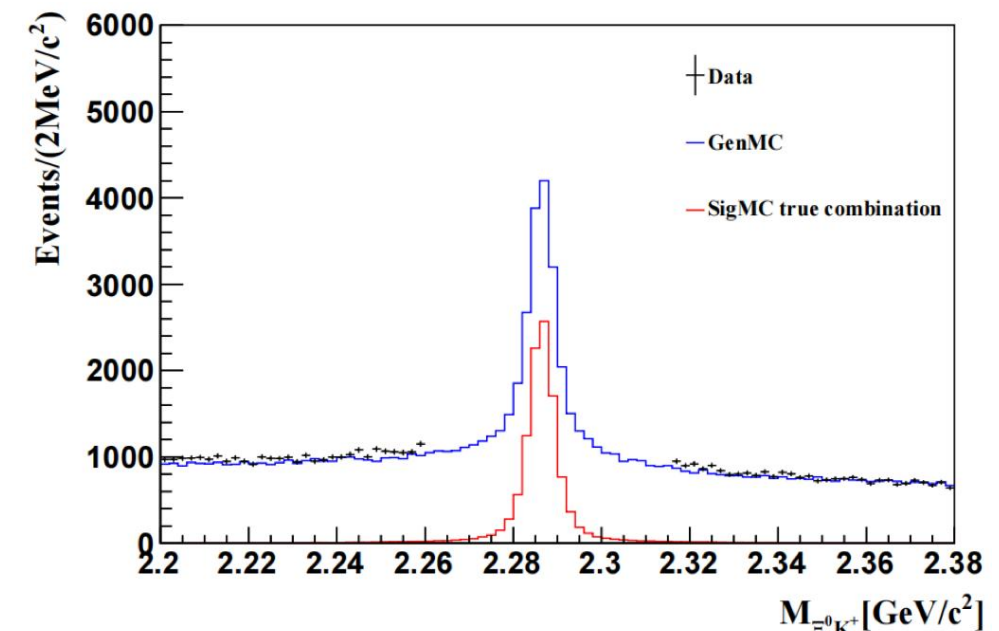
# $\Lambda_c^+ (\rightarrow \Xi^0 K^+)$ 的重建和探测效率 $\varepsilon$

Belle



$$\underline{\varepsilon = 4.2\%}$$

Belle II

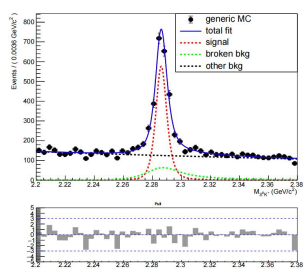


$$\underline{\varepsilon = 7.1\%}$$

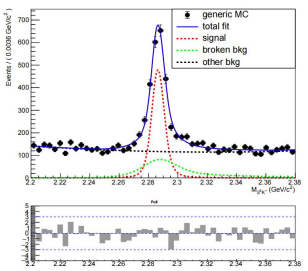
Blind Analysis(盲分析方法)

## 五. 对衰变不对称参数 $\alpha_{\Lambda_c^+}$ 的研究

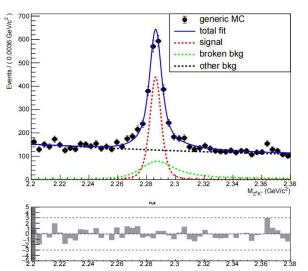
$0.6 < \cos\theta_{\Lambda^0} < 1$



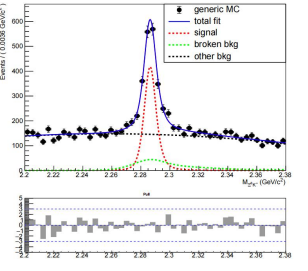
$0.2 < \cos\theta_{\Lambda^0} < 0.6$



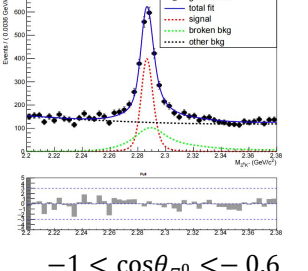
$-0.2 < \cos\theta_{\Lambda^0} < -0.2$



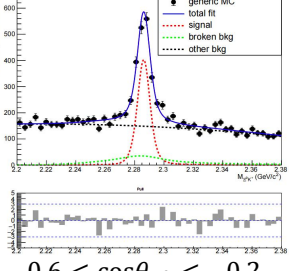
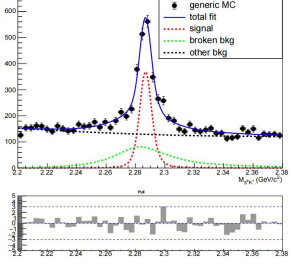
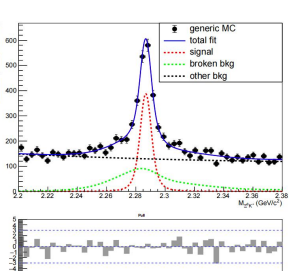
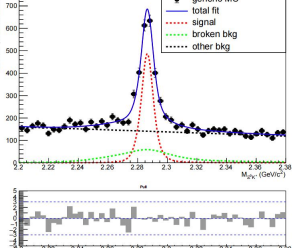
$-0.6 < \cos\theta_{\Lambda^0} < -0.2$



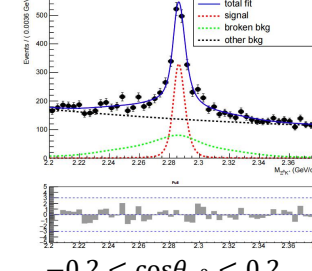
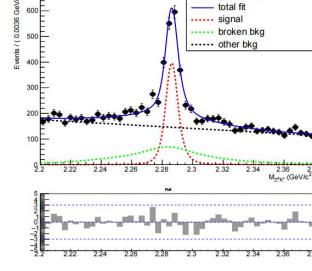
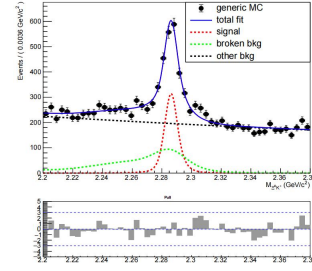
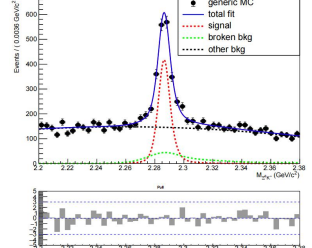
$-1 < \cos\theta_{\Xi^0} < -0.6$



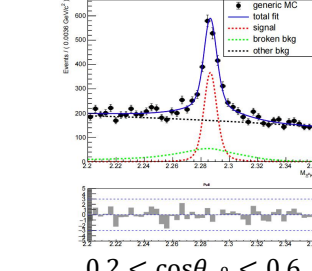
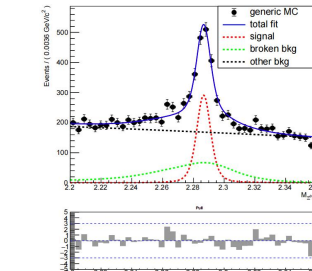
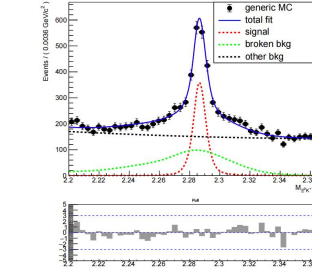
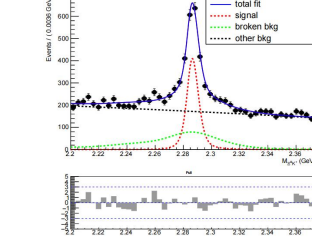
$-1 < \cos\theta_{\Xi^0} < -0.6$



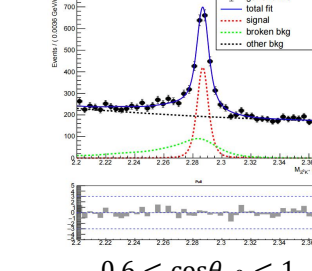
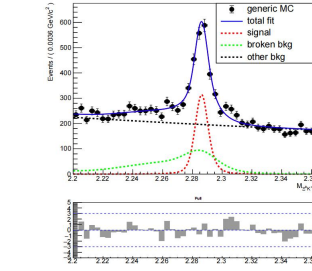
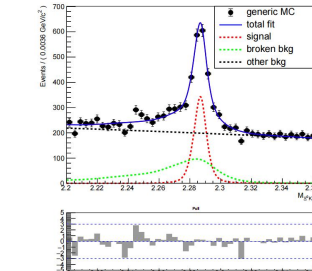
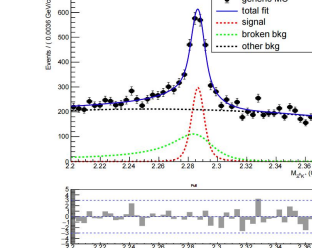
$-0.6 < \cos\theta_{\Xi^0} < -0.2$



$-0.2 < \cos\theta_{\Xi^0} < 0.6$

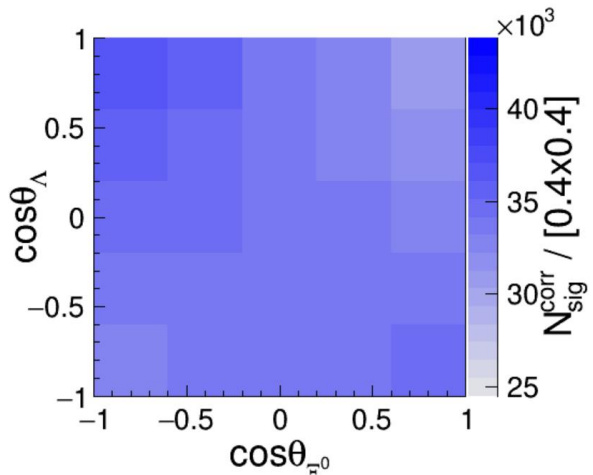
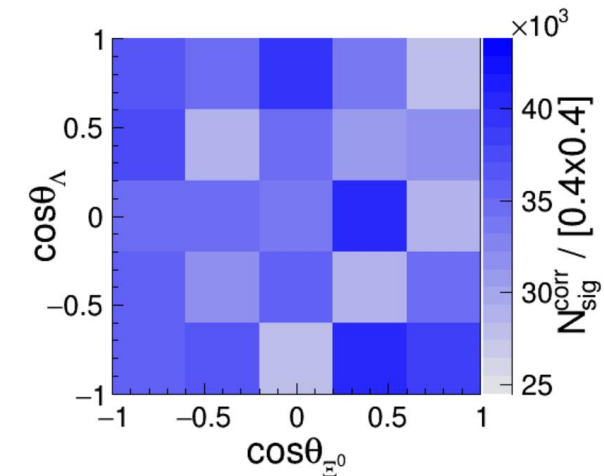
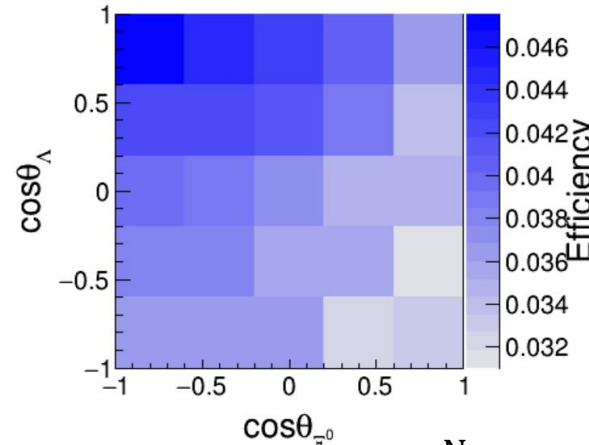
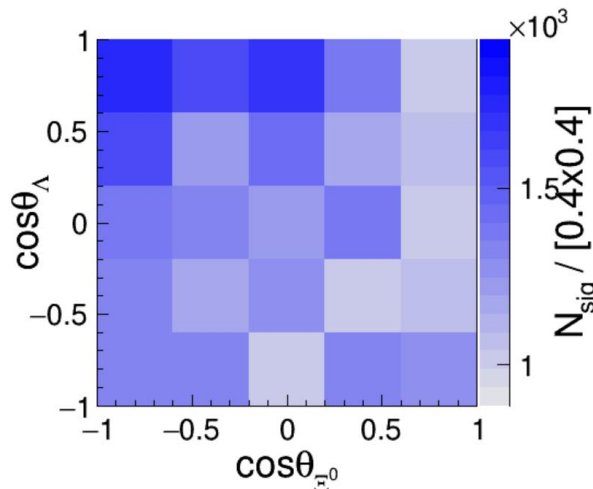


$0.2 < \cos\theta_{\Xi^0} < 0.6$



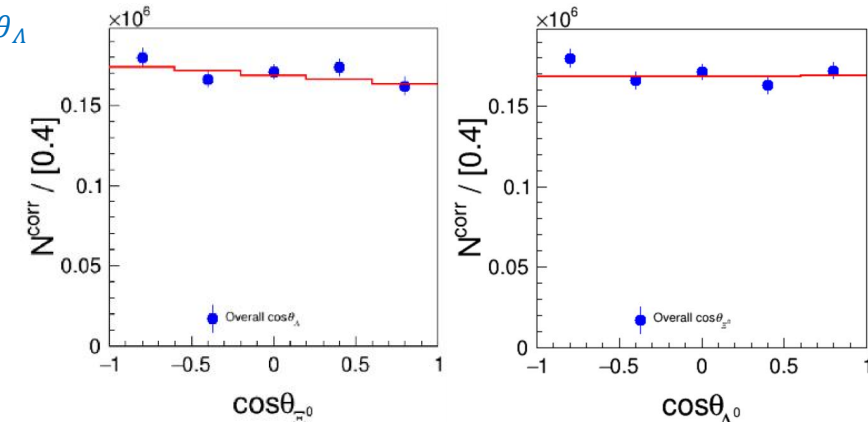
$0.6 < \cos\theta_{\Xi^0} < 1$

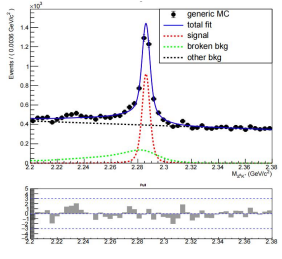
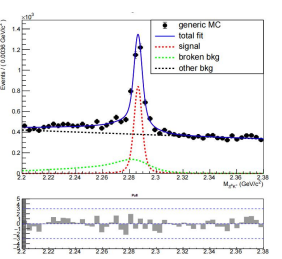
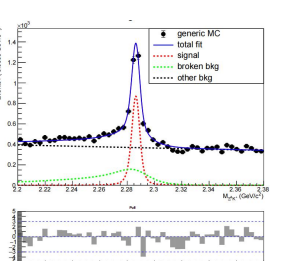
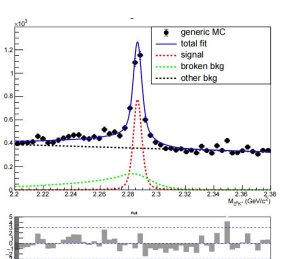
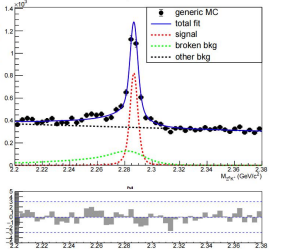
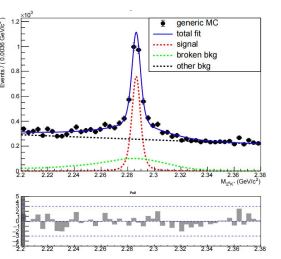
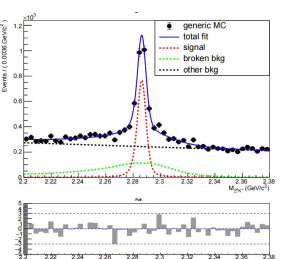
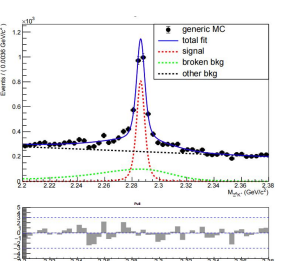
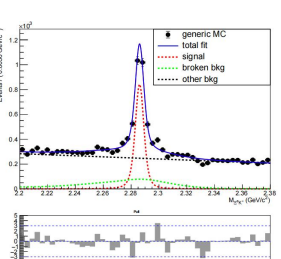
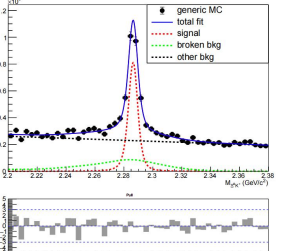
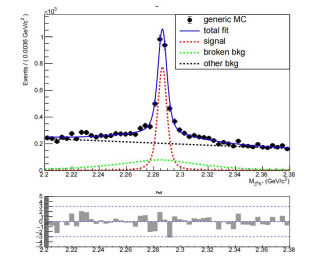
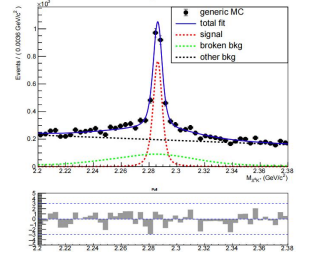
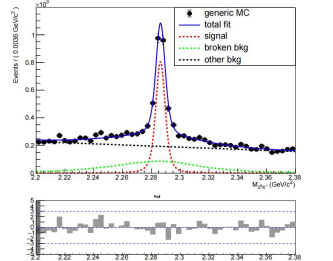
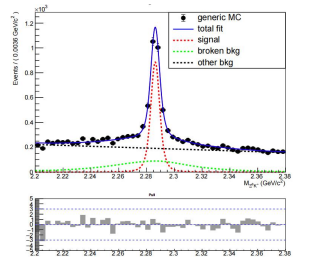
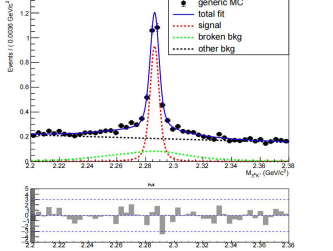
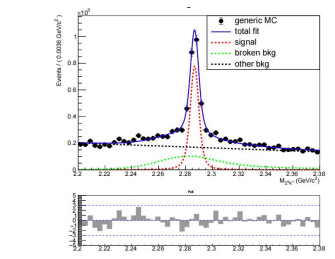
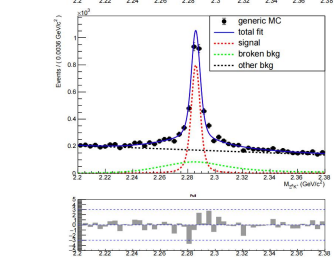
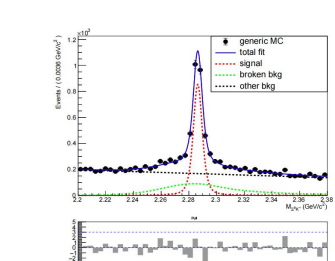
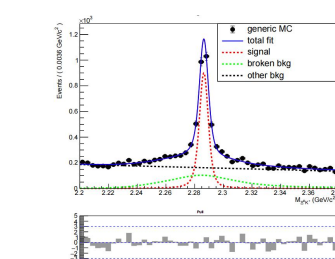
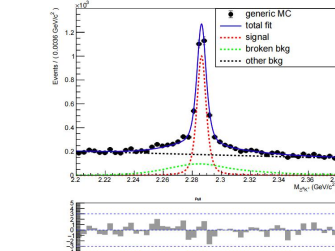
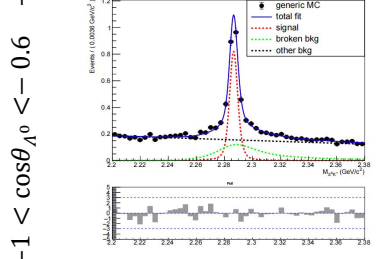
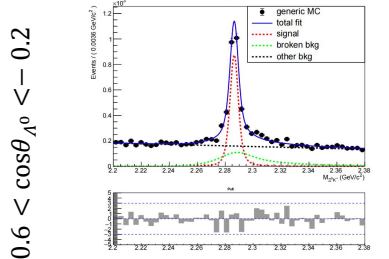
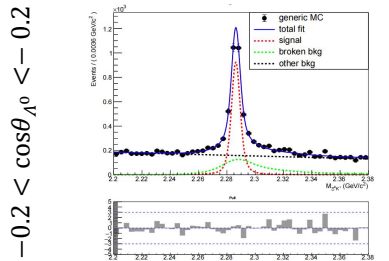
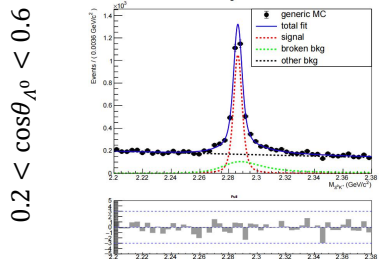
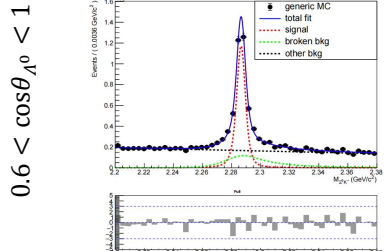
# 1. 在Belle上对generic MC的 $\alpha_{\Lambda_c^+}$ 的测量



$$\frac{dN}{dcos\theta_{\Xi^0} dcos\theta_{\Lambda}} \propto 1 + \alpha_{\Lambda_c^+} \alpha_{\Xi^0} \cos\theta_{\Xi^0} + \alpha_{\Lambda} \alpha_{\Xi^0} \cos\theta_{\Lambda} + \alpha_{\Lambda} \alpha_{\Lambda_c^+} \cos\theta_{\Xi^0} \cos\theta_{\Lambda}$$

$$\begin{aligned}\alpha_{\Lambda_c^+} \alpha_{\Xi^0} &= -0.03929 \pm 0.02560 \\ \alpha_{\Lambda} \alpha_{\Xi^0} &= 0.00256 \pm 0.02399 \\ \alpha_{\Lambda} \alpha_{\Lambda_c^+} &= -0.08973 \pm 0.04746\end{aligned}$$





$-1 < \cos \theta_{\Xi^0} < -0.6$

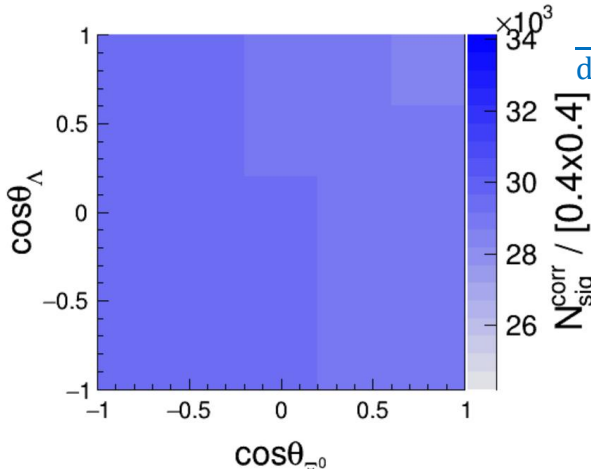
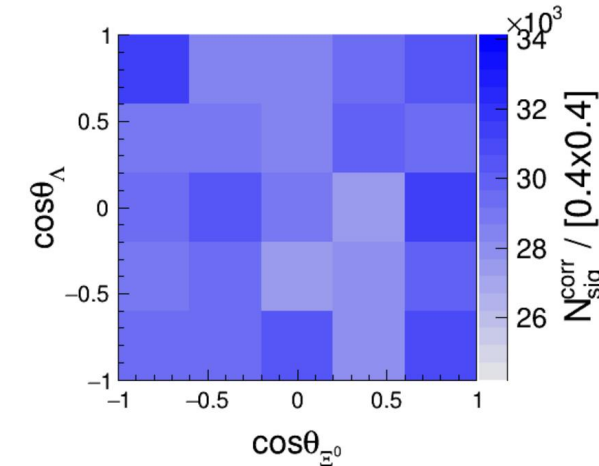
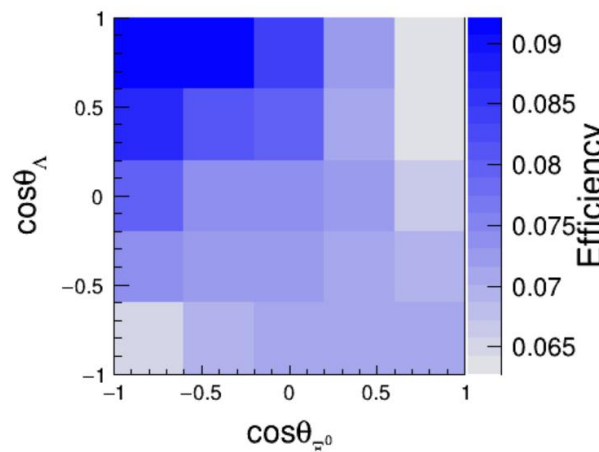
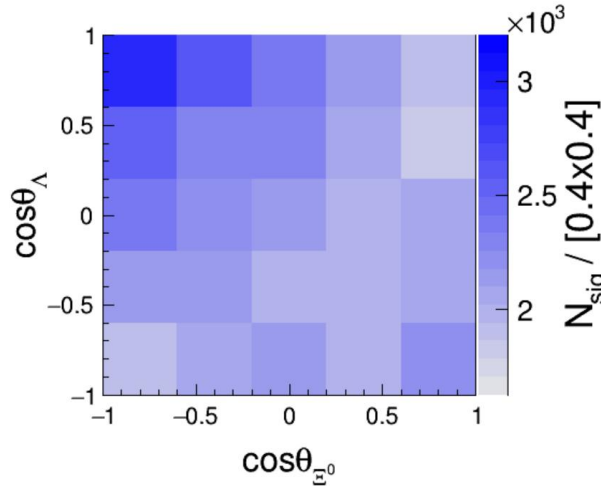
$-0.6 < \cos \theta_{\Xi^0} < -0.2$

$-0.2 < \cos \theta_{\Xi^0} < 0.2$

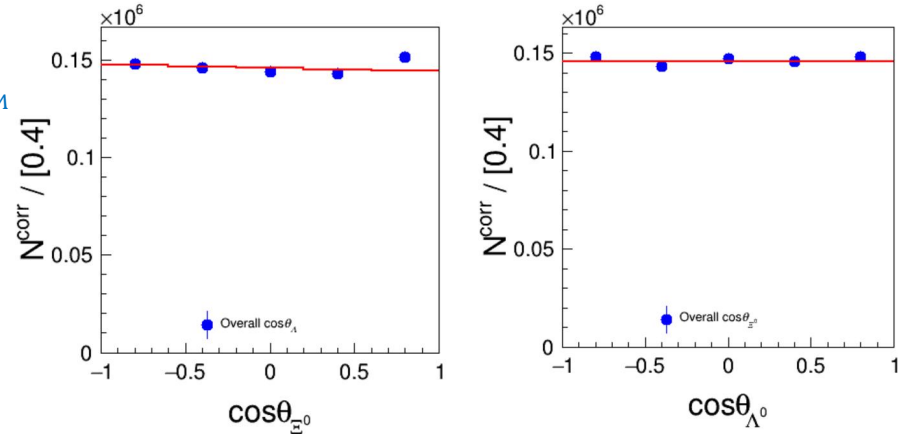
$0.2 < \cos \theta_{\Xi^0} < 0.6$

$0.6 < \cos \theta_{\Xi^0} < 1$

## 2. 在Belle II上对generic MC的 $\alpha_{\Lambda_c^+}$ 的测量

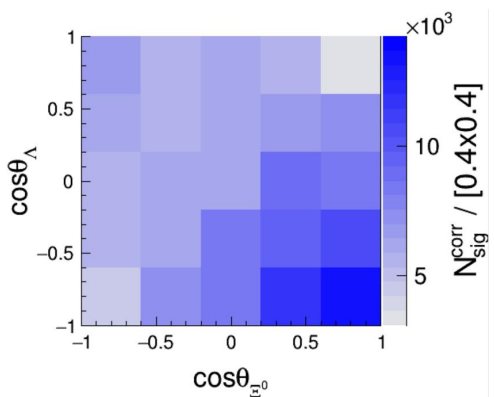


$$\begin{aligned}\alpha_{\Lambda_c^+} \alpha_{E^0} &= -0.0127 \pm 0.0119 \\ \alpha_{\Lambda} \alpha_{E^0} &= -0.0013 \pm 0.0123 \\ \alpha_{\Lambda} \alpha_{\Lambda_c^+} &= -0.0099 \pm 0.0201\end{aligned}$$

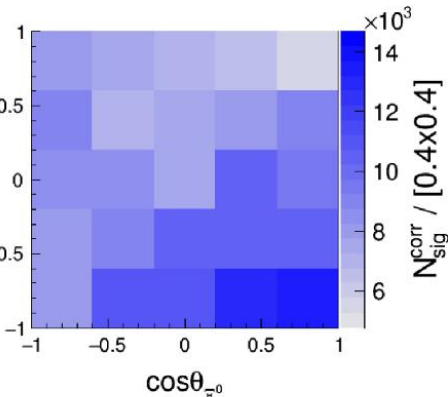


### 3. 不同 $\alpha_{\Lambda_c^+}$ 值的输入输出检查

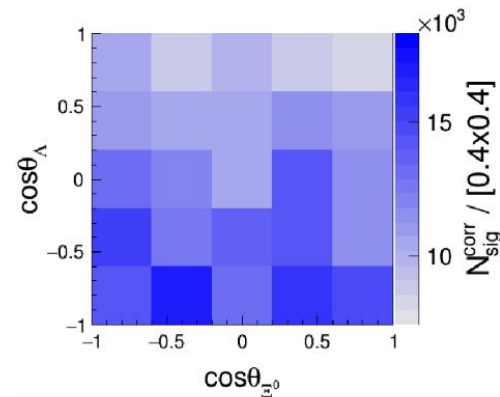
输入值:  $\alpha_{\Lambda_c^+} = -0.8$



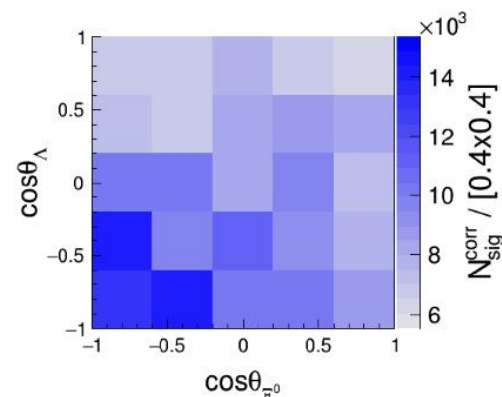
$\alpha_{\Lambda_c^+} = -0.4$



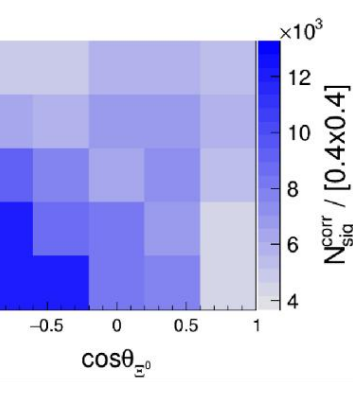
$\alpha_{\Lambda_c^+} = 0$



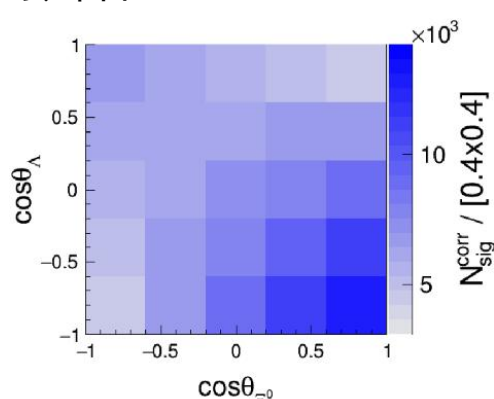
$\alpha_{\Lambda_c^+} = 0.4$



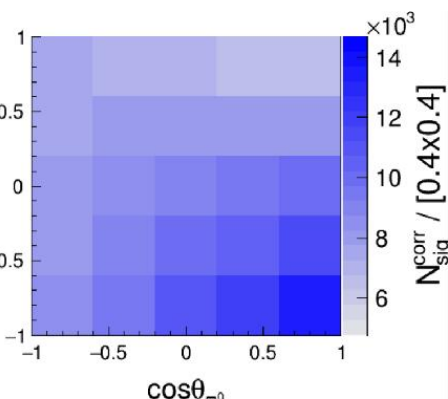
$\alpha_{\Lambda_c^+} = 0.8$



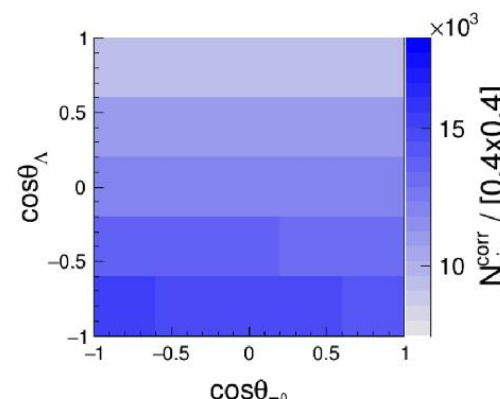
拟合值:  $-0.781 \pm 0.052$



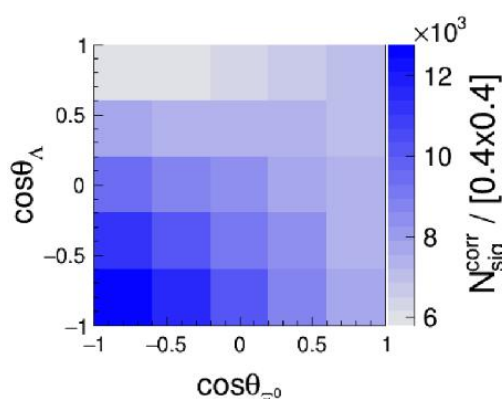
$-0.362 \pm 0.065$



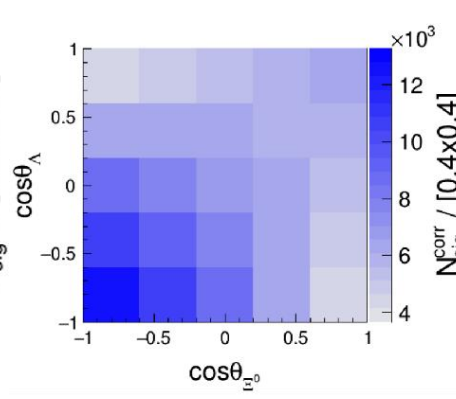
$0.043 \pm 0.061$



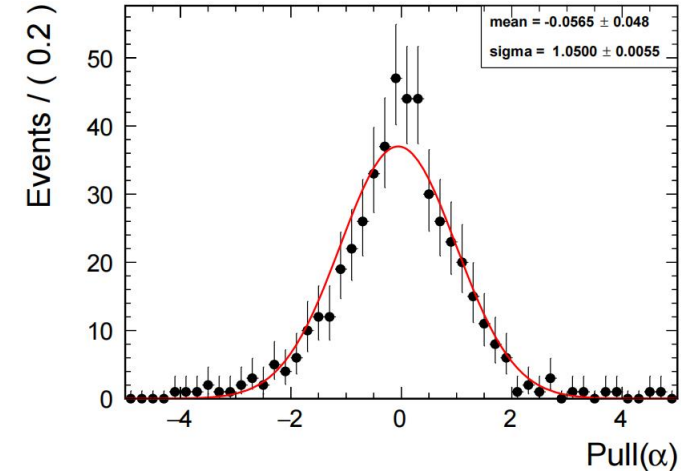
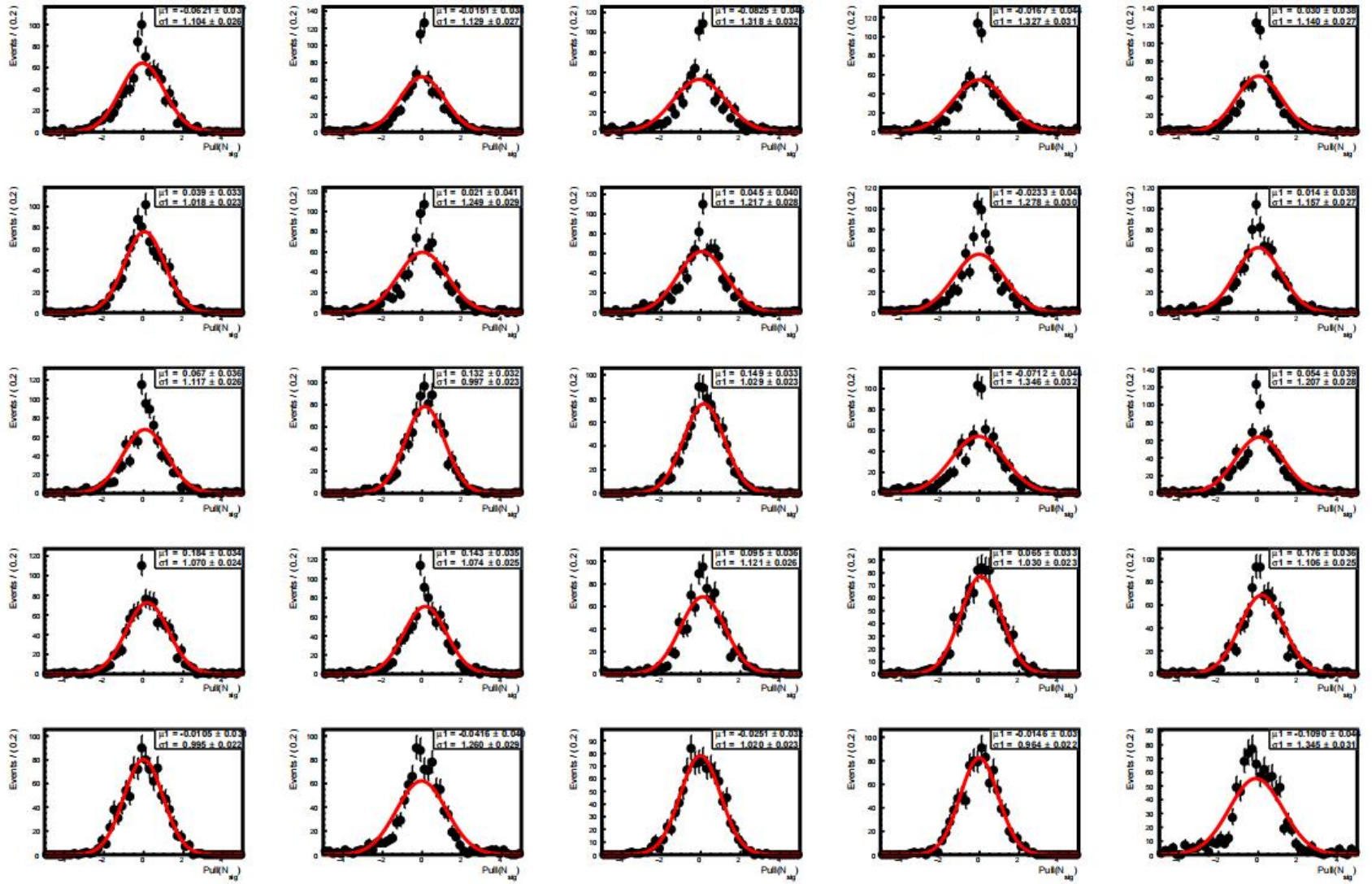
$0.422 \pm 0.067$



$0.78 \pm 0.052$



# 4. 利用Toy MC进行无偏检验



## 5. 系统误差分析(基于generic MC)

来源	$\alpha(\Lambda_c^+ \rightarrow \Xi^0 K^+)$
cos $\theta$ bins	0.034
效率平面的误差	0.012
拟合的偏移	0.022
总的系统误差	0.042
vs 统计误差	0.065

# 六. 总结

已完成

- 事例筛选
- 对generic MC的 $\alpha_{\Lambda_c^+}$  的测量
- 不同  $\alpha_{\Lambda_c^+}$  值的输入输出检查
- 无偏检验
- 系统误差

后续计划

- 提交Belle+Belle II note
- 完成对data样本的 $\alpha_{\Lambda_c^+}$  的测量

谢谢聆听！